

## تحلیل ریاضی تیر ویسکو الاستیک بر شی تحت عبور بار گسترده متحرک

محمد طهرانی<sup>۱</sup> \* حمیدرضا ایپاک چی<sup>۲،\*</sup>

\* نویسنده مسئول: eipakchi@shahroodut.ac.ir

### چکیده

در این مقاله پاسخ دینامیکی یک تیر ویسکو الاستیک تحت بار پیوسته متحرک مورد مطالعه قرار گرفته است. فرض شده که ماده سازنده تیر از مدل ویسکو الاستیک استاندارد خطی در برش پیروی کرده و در فشار (بالک) تراکم ناپذیر است. تنش ها به مؤلفه های بر شی و اتساع تفکیک شده اند. سپس معادلات حاکم در حالت ویسکو الاستیک به روش مستقیم استخراج شده اند و با استفاده از روش بسط توابع ویژه حل شده اند. بر اساس ضرایب بی بعد معرفی شده یک مطالعه پارامتری انجام شده و اثر سرعت بار و خواص ویسکو الاستیک بر پاسخ بررسی شده است. مطالعات نشان می دهد که بیشترین میرایی در حالتی به دست می آید که زمان اولین تناوب تیر  $2\pi$  برابر زمان رهایش برابر باشد.

**واژه های کلیدی:** تیر ویسکو الاستیک، بار متحرک، حل ریاضی، مدل استاندارد خطی.

۱- کارشناس ارشد، دانشکده مکانیک، دانشگاه صنعتی شهرورد.

۲- استادیار، دانشکده مکانیک، دانشگاه صنعتی شهرورد.

در روش‌های معمول از مدل کلوین-ویت برای بررسی رفتار مواد ویسکوالاستیک تحت تحریک دینامیکی استفاده شده و تحلیل‌های انجام شده به صورت عددی و تنها برای چند نمونه ماده خاص انجام گرفته است. ولی در این مقاله برخلاف معمول از یک مدل استاندارد خطی سه عضوی استفاده شده و معادله حاکم با روش بسط توابع ویژه به صورت تحلیلی حل شده است. برای مطالعه پارامتری مسائله، تعدادی پارامتر بی بعد تعریف شده و اثر این پارامترها برپاسخ به دست آمده‌اند. نیاز به انجام چنین تحقیقی در دو وجه قابل توجه است. مورد اول نوع مدل به کار رفته و پارامترهای بی بعد استخراج شده است که از طریق آن طیف قابل ملاحظه‌ای از مواد که به این صورت مدل شده‌اند قابل بررسی است. مورد دوم کاربرد عملی آن در بررسی میرایی سازه‌هایی مانند ریل‌ها با زیر سازی ویسکوالاستیک، پل‌ها با قطعه‌هایی میراکننده لاستیکی و لوله‌های پلیمری حامل جریان سیال در صنایع مختلف است.

## ۲- استخراج معادله حاکم

معادله حرکت عرضی تیر برنولی با فرض ثابت بودن چگالی و سطح مقطع عبارت است از [۴]:

$$\rho A \frac{\partial^2 w(x,t)}{\partial t^2} - \frac{\partial^2 M(x,t)}{\partial x^2} = f(x,t) \quad (1)$$

که در آن  $\rho$  چگالی،  $A$  سطح مقطع،  $f(x,t)$  نیرو بر واحد طول،  $M$  گشتاور خمی و  $w$  جابجایی عرضی تیر است. معادله بنیادین برای یک ماده ویسکوالاستیک خطی می‌تواند به شکل زیر نوشته شود:

$$P(D)\sigma_{ij}(t) = Q(D)\gamma_{ij}(t) \quad (2)$$

که در آن  $\sigma$  و  $\gamma$  به ترتیب تنش و کرنش و  $P$  و  $Q$  عملگرهای دیفرانسیلی به صورت زیر تعریف می‌شوند:

$$Q(D) = \sum_{r=0}^N Q_r \frac{\partial^r}{\partial t^r} \quad (3)$$

$$P(D) = \sum_{r=0}^N P_r \frac{\partial^r}{\partial t^r} \quad (4)$$

## ۱- مقدمه

حرکت نیروها روی سازه یکی از مسائل معمول در مهندسی به شمار می‌آید که از جمله آنها می‌توان به حرکت یک جرثقیل سقفی روی ریل، حرکت ماشینها روی پل، انتقال سیال در لوله‌ها و حرکت هوا بر روی بال هوایپما اشاره کرد. یکی از موارد مهم در تحلیل این گونه مسائل جنس سازه است. در تحلیل‌های صورت گرفته در این حوزه توجه بیشتر به مواد الاستیک است، در حالی که طیف بسیار گستردگی از مواد پیرامون ما در حوزه ویسکوالاستیک قرار دارند یا خواص آنها تابع زمان است. از این رو شناخت رفتار مکانیکی این مواد به دلیل ارائه رفتار متفاوت نسبت به مواد الاستیک، از اهمیت بالایی برخوردار است. در مورد حرکت بار بر روی سازه ویسکوالاستیک می‌توان به مقاله‌های هانگ اشاره کرد که در آنها رفتار یک پوسته ویسکوالاستیک با طول محدود تحت فشار داخلی متحرک مورد بررسی قرار گرفته است [۱,۲,۳]. در این مقاله‌ها تنها به بررسی موردی یک ماده خاص که تابع مدل استاندارد خطی است پرداخته شده است. فانگ و همکاران پایداری دینامیکی یک تیر ویسکوالاستیک تحت تحریک هارمونیک و پارامتریک را بررسی کرده‌اند [۴]. آنها معادلات حاکم را به صورت‌های خطی و غیر خطی استخراج کردند و از پارامترهای بی بعد برای ساده سازی این معادلات و نتایج حاصل استفاده کردند. کارنوخوف و آی‌چوک به بررسی تأثیر سرعت بار و ابعاد یک تیر ویسکوالاستیک تیموشنکو بر مقدار گرمای تلف شده پرداخته‌اند [۵]. کوکاتورک و سیمسک به بررسی تیرهای تیموشنکو و برنولی تحت بار هارمونیک متحرک پرداخته‌اند [۶,۷,۸]. آنها از مدل کلوین-ویت استفاده کرده و از روش انرژی در استخراج معادله حرکت کمک گرفتند و معادله‌های به دست آمده را با روش عددی حل کردند. مفید و همکارانش به بررسی پاسخ یک تیر کلوین-ویت تحت جرم متحرک پرداختند و معادله حاکم را با روش‌های تحلیلی و عددی حل کرده‌اند [۹]. فریبا بسیاری از مسائل بار متحرک را در حوزه الاستیک مورد بررسی قرار داده است [۱۰].

$$\rho_A \frac{\partial^4 P^E w(x,t)}{\partial t^4} + I \frac{\partial^4 Q^E w(x,t)}{\partial x^4} = P^E f(x,t) \quad (14)$$

برای یک تیر با تکیه گاه ساده شرایط مرزی عبارت اند از:

$$w(0,t) = w(L,t) = \frac{\partial^2 w(0,t)}{\partial x^2} = \frac{\partial^2 w(L,t)}{\partial x^2} = 0 \quad (15)$$

که  $L$  طول تیراست. با استفاده از روش بسط توابع ویژه، جابه جایی عرضی تیر به شکل زیر می تواند در نظر گرفته شود:

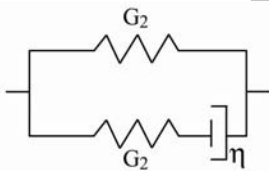
$$w_n(x,t) = \sum_{n=1}^{\infty} a_n(t) \sin\left(\frac{n\pi x}{L}\right) \quad (16)$$

با جایگذاری معادله فوق در معادله (۱۴)، شکل کلی معادله دیفرانسیل حاکم به شکل زیر حاصل می شود:

$$\begin{aligned} P^E \ddot{a}_n + \frac{I}{\rho A} \left( \frac{n\pi}{L} \right)^4 Q^E (a_n) \\ = P^E \left[ \frac{2}{\rho AL} \int_0^L f(x,t) \sin\left(\frac{n\pi x}{L}\right) dx \right] \\ \text{که در آن } \ddot{a}_n = \frac{d^2 a_n}{dt^2} \end{aligned} \quad (17)$$

مدل استاندارد خطی ویسکوالاستیک مورد نظر در شکل (۱) نمایش داده شده است. معادله حاکم بر این مدل عبارت است از [۱۱]:

$$\ddot{\sigma} + \frac{G_1}{\eta} \sigma = (G_1 + G_2) \ddot{\gamma} + \frac{G_1 G_2}{\eta} \gamma \quad (18)$$



شکل (۱) مدل استاندارد خطی.

از معادله (۱۸) و به کمک معادله (۵) مقادیر  $Q_1$  و  $P_1$  عبارتند از:

$$\begin{aligned} P_1 &= \frac{d}{dt} + \frac{G_1}{\eta} \\ Q_1 &= 2 \left( (G_1 + G_2) \frac{d}{dt} + \frac{G_1 G_2}{\eta} \right) \end{aligned} \quad (19)$$

و با جایگذاری آنها در معادله (۸)، معادله (۱۷) به شکل زیر تبدیل می شود:

عملگرهای  $P_r$  و  $Q_r$  در مسائل خطی مستقل از زمان اند. بخش های برش و اتساع تنש عبارت اند از:

$$P_r \sigma_{ij}^{de}(t) = Q_r \gamma_{ij}^{de}(t) \quad (5)$$

$$P_r \sigma_{KK}^{dil}(t) = Q_r \gamma_{KK}^{dil}(t) \quad (6)$$

که بالا نویس  $de$  و  $dil$  به ترتیب برای برش و اتساع گرفته شده است.  $P_1$  و  $P_2$  و  $Q_1$  و  $Q_2$  عملگرهای دیفرانسیل مشابه معادلات (۳) و (۴) هستند. به کمک روابط الاستیک حاکم بین ضرایب لامه و معادلات (۵) و (۶) می توان رابطه مدول الاستیسیته و ضریب پواسون را به شکل زیر استخراج کرد [۱۱]:

$$E(D) = \frac{4Q_1 Q_2}{P_2 Q_1 + 2P_1 Q_2} = \frac{Q^E}{P^E} \quad (7)$$

$$\nu(D) = \frac{1}{2} \frac{3P_1 Q_2 - 2P_2 Q_1}{P_1 Q_1 + 3P_2 Q_2} = \frac{Q^V}{P^V} \quad (8)$$

برای یک ماده تراکم ناپذیر  $P_2$  در معادله (۶) صفر و معادله (۷) به شکل زیر تبدیل می شود [۱۱]:

$$E(D) = \frac{3Q_1}{P_1} = \frac{Q^E}{P^E} \quad (9)$$

رابطه اینجا کرنش کوچک برای یک تیر برلولی عبارت است از [۴]:

$$\gamma(x,y,t) = \gamma_0 + \kappa(x,t)y \approx \gamma_0 - \frac{\partial^2 w(x,t)}{\partial x^2} y \quad (10)$$

که  $\gamma_0$  کرنش در مرکز سطح،  $\kappa$  انحنای تیر و  $y$  فاصله از مرکز سطح برای یک لایه مشخص در صفحه اینجا می باشد [۴]. گشتاور خمی در یک تیر عبارت است از:

$$M(x,t) = \int_A \sigma(x,y,t) y dA \quad (11)$$

همچنین برای یک تیر ساده ویسکوالاستیک رابطه تنش کرنش محوری عبارت است از [۱۱]:

$$P^E \sigma_{xx}(t) = Q^E \gamma_{xx}(t) \quad (12)$$

با اعمال عملگر  $P^E$  در معادله (۱۱) و با توجه به معادلات (۱۰) و (۱۲) نتیجه می شود [۴]:

$$P^E M(x,t) = I Q^E \kappa = -I Q^E \frac{\partial^2 w(x,t)}{\partial x^2} \quad (13)$$

که  $I$  گشتاور دوم سطح مقطع تیر است. با استفاده از معادله های (۱۳) و (۱)، معادله حاکم برای یک تیر بونولی ویسکوالاستیک به شکل زیر حاصل می شود:

تحلیلی حل شده است. روند حل در قالب یک برنامه نرم افزاری در محیط MAPLE کنترل شده است.

### ۳- بررسی پارامترهای بی بعد $K$ و $E_1$

پارامتر  $K$  را می‌توان معادل با نسبت زمان اولین تناوب تیر به  $2\pi$  برابر زمان رهایش در نظر گرفت. می‌توان نشان داد پارامتر  $E_1$  نسبت مدول برشی ماده در زمان بی نهایت به مدول برشی ماده در زمان اولیه است [پیوست ب]. در شکل‌های (۲) تا (۸) تغییر نسبت خیز دینامیکی به خیز استاتیکی وسط تیر بر حسب زمان بی بعد  $\tau = \alpha/\pi$  نشان داده شده است. زمان  $\tau = 15$  برابر با خروج بار از روی تیر نیز می‌باشد که در شکل‌ها با خط چین مشخص شده است. این زمان در بررسی نتایج حائز اهمیت می‌باشد. زمان  $\tau = 1$  زمان رسیدن بار به انتهای تیر است. در شکل‌های (۲) و (۳) تغییرات  $K$  نشان داده شده است. در  $K = 1$  بیشترین و سریعترین میرایی حاصل شده است.

قبل از خروج بار از روی تیر کلیه نوسانات حول مقدار منفی یک بوده و اگر زمان قرار گیری بار بر روی تیر افزایش یابد حول همین مقدار میرا شده و خیز دینامیکی و استاتیکی تیر یکسان می‌شود. این موضوع برای مقادیر مختلف  $E_1$  نیز صادق است. از دیگر نکات مهم در  $K = 1$  این است که با دور شدن از این عدد، سیستم رفتار ارجاعی‌تری از خود نشان می‌دهد. این مطلب در مورد  $K = 50$  و  $K = 0.01$  به وضوح نشان داده شده است.

بعد از آغاز خروج بار از روی تیر نوسانات به صفر میرا می‌شود. برای مقادیر  $K \approx 0$  رفتار سیستم قبل از خروج بار و بعد از خروج بار را می‌توان تقریباً الاستیک در نظر گرفت. این حالت را می‌توان به بزرگ بودن  $G_1$  یا کوچکی  $\eta$  نسبت داد. برای  $K \approx 0$  رفتار سیستم قبل از شروع خروج بار مشابه رفتار تیر الاستیک است اما بعد از خروج بار، دامنه نوسانات به آرامی به سمت صفر میل می‌کند. علت این رفتار را می‌توان در بزرگ بودن زمان رهایش نسبت به زمان اولین تناوب دانست.

$$\frac{G_1}{\eta} + \frac{G_2}{\eta} + 2(n\pi)^4 \frac{G_1 + G_2}{\rho L^4} \frac{I}{AL^4} a = P_o^E \left[ \frac{2}{\rho AL} \int_0^L f(x,t) \sin\left(\frac{n\pi x}{L}\right) dx \right] \quad (20)$$

طرف راست معادله (۲۰) بر حسب نوع بار می‌تواند شکل‌های مختلفی داشته باشد. برای بار پله‌ای  $f(x,t) = P_o H[x - Vt]$  در جدول پیوست [پ] شکل‌های مختلف بار و شرایط اولیه معادله داده شده است که  $H(x)$  تابع پله واحد،  $V$  سرعت بار و  $P_o$  اندازه بار بر واحد طول است. با معرفی پارامترهای بی بعد به شکل زیر:

$$\alpha = \frac{\omega}{\Omega_1} \quad K = \frac{G_1}{\eta} \frac{1}{\Omega_1} = \frac{T'}{2\pi\tau} \quad (21)$$

$$\tau = \Omega_1 t \quad E = \frac{G_2}{G_1 + G_2} < 1$$

به طوری که  $T' = \frac{2\pi}{\Omega_1}$ ،  $\Omega_1^2 = 3\pi^4 \frac{G_1 + G_2}{\rho L^4} \frac{I}{AL^4}$  زمان اولین نوسان طبیعی،  $\tau = \frac{\eta}{G_1}$  زمان رهایش،  $\alpha$  شاخص سرعت و  $\tau$  زمان بی بعد است. معادله حاکم بر اساس این پارامترها برای حالت ورود بار به شکل زیر تبدیل می‌شود.

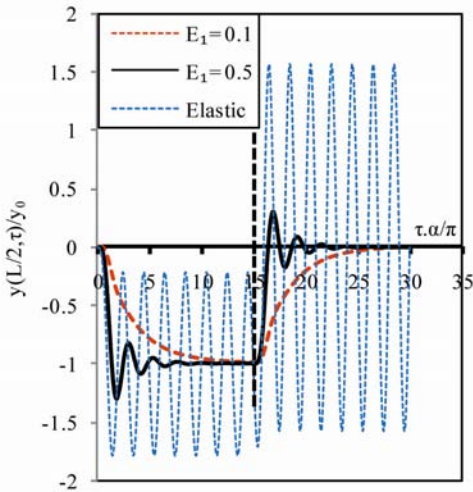
$$\begin{aligned} \frac{d^3 a_n}{dt^3} + K \frac{d^2 a_n}{dt^2} + n^4 \frac{da_n}{dt} + K \cdot E_1 \cdot n^4 a_n \\ = \frac{2P_o}{\rho A \Omega_1^2 n \pi} [K - K \cos(n\alpha\tau) + n\alpha \sin(n\alpha\tau)] \end{aligned} \quad (22)$$

می‌توان نشان داد خیز استاتیکی وسط یک تیر ویسکوالاستیک در زمان بی نهایت که تمام آن تحت بار پیوسته  $P_o$  قرار گرفته با تقریب خوبی برابر است با [پیوست الف]:

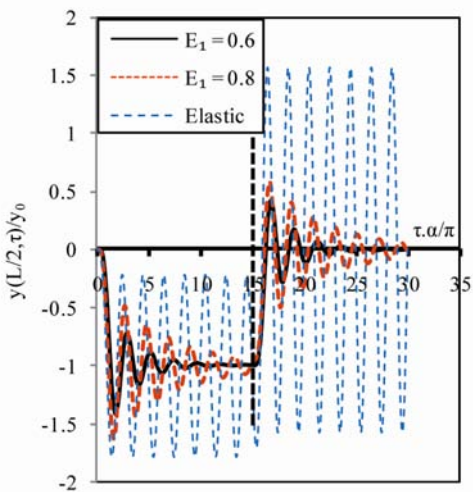
$$y_o = \frac{4P_o E_1}{\rho A \pi \Omega_1^2} \quad (23)$$

با تقسیم معادله (۲۲) به  $y_o$ ، حاصل یک شکل بی بعد بوده که حل آن تغییرات خیز دینامیکی به خیز استاتیکی یا ضربی تقویت را نشان می‌دهد. همچنین این معادله یک معادله دیفرانسیل خطی از مرتبه سه بوده که برای هر  $n$  یک جواب دارد. این معادله باروش تبدیل لاپلاس به صورت

به طور تقریبی برای مقادیر  $E_1 \leq 0.25$  خیز تیر بدون نوسان به رشد خود ادامه داده تا به مقدار استاتیکی خود برسد این رفتار ناشی از افزایش تأثیر ویسکوگزیته ماده می‌تواند می‌باشد، از این رو در طراحی‌هایی که نیازمند ارتعاش بسیار ناچیز است می‌توان از مقادیر مشخصی از پارامتر  $E_1$  بهره جست.

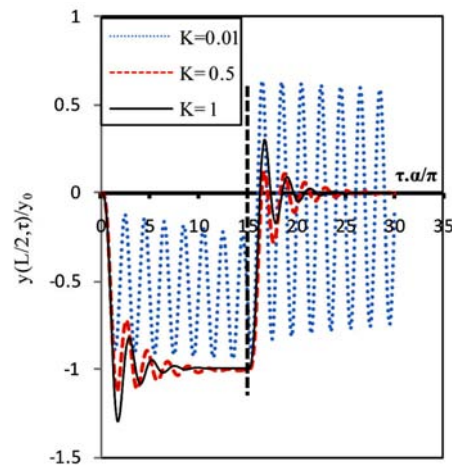


شکل (۴) تغییر ضریب تقویت سیستم برای  $E_1 = 1$  ،  $\alpha = 1$  ،  $K = 1$  برای نمونه الاستیک  $K = \infty$  ،  $E_1 = 1$

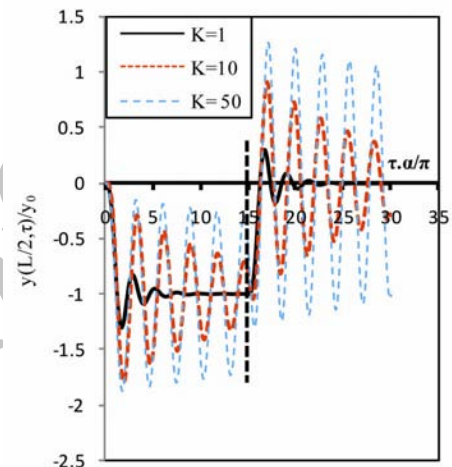


شکل (۵) تغییر ضریب تقویت سیستم برای  $E_1 = 1$  ،  $\alpha = 1$  ،  $K = 1$  برای نمونه الاستیک  $K = \infty$  ،  $E_1 = 1$

نمودارهای رسم شده در مقاله با در نظر گرفتن ۳۰ جمله از معادله (۱۶) است. برای بررسی همگرایی، در شکل (۶) تأثیر تعداد جملات بر پاسخ سیستم آورده شده است. مطابق این شکل، افزایش تعداد جملات، تأثیر قابل ملاحظه‌ای بر پاسخ ندارد.

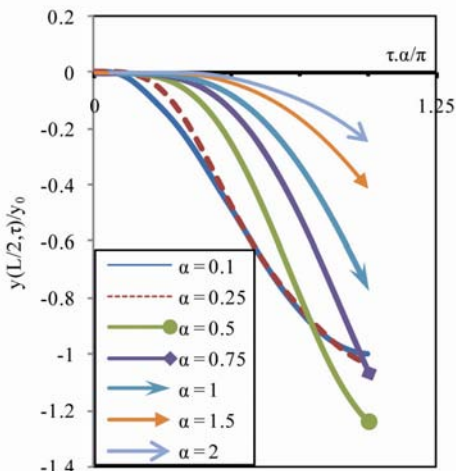


شکل (۲) تغییر ضریب تقویت سیستم برای  $E_1 = 0.5$  ،  $\alpha = 1$  ،  $K = 1$

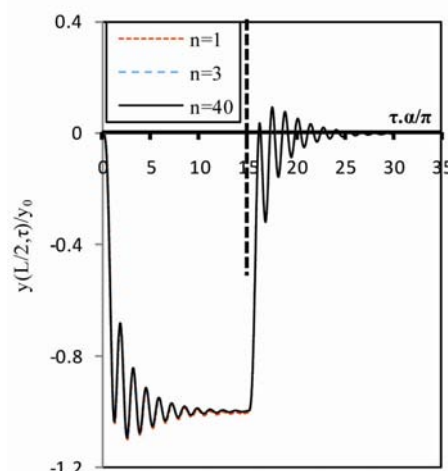


شکل (۳) تغییر ضریب تقویت سیستم برای  $E_1 = 0.5$  ،  $\alpha = 1$  ،  $K = 1$

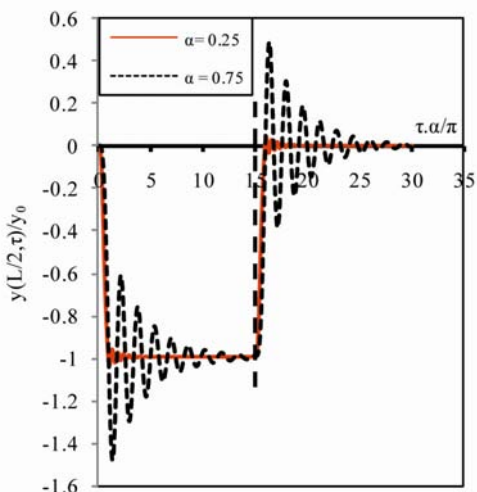
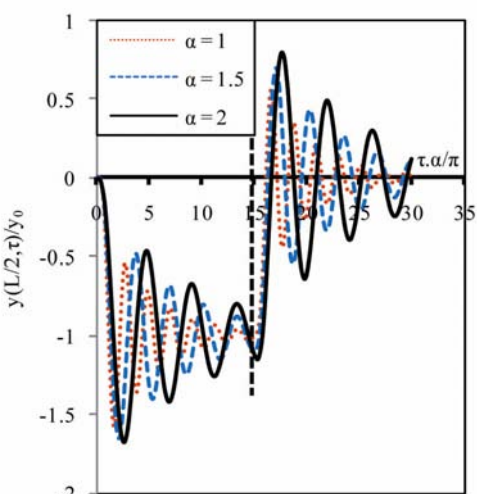
در شکل‌های (۴) و (۵) تأثیر مقادیر مختلف  $E_1$  بر روی ضریب تقویت در  $K = 1$  مورد بررسی قرار گرفته است. زمانی که  $E_1$  به سمت یک میل می‌کند ماده رفتار ارجاعی‌تری از خود نشان می‌دهد. زیرا نسبت  $E_1$  با مدول برشی متناسب است و نسبت مدول برشی ماده در زمان بی‌نهایت به مدول برشی ماده در زمان اولیه برابر یک است که این یکی از خواص مواد الاستیک است. مدل الاستیک کامل زمانی حاصل می‌شود که  $\eta = 0$  باشد. بنابراین اگر مقدار  $K$  به سمت بی‌نهایت میل کند، مقدار  $E_1 = 1$  خواهد بود. مقایسه‌ای بین حالت الاستیک و ویسکوالاستیک در شکل‌های (۴) و (۵) ارائه شده است و بطور مشخص اثر میرایی سیستم‌های ویسکوالاستیک قابل تشخیص می‌باشد.

شکل (۷) تغییر ضریب تقویت سیستم برای مقادیر مختلف  $\alpha$  در هنگام

$$\text{ورود بار در } K = 1, E_1 = 0.75$$

شکل (۸) تغییر ضریب تقویت سیستم برای  $n$  های مختلف به ازای

$$K = 0.35, E_1 = 0.55, \alpha = 0.65$$

شکل (۹) تغییر ضریب تقویت سیستم برای  $K = 1, E_1 = 0.75$ شکل (۱۰) تغییر ضریب تقویت سیستم برای  $K = 1, E_1 = 0.75$ 

#### ۴- بودرسی پارامتر بی بعد شاخص تأثیر سرعت

در شکل های (۷)، (۸) و (۹) تأثیر پارامتر  $\alpha$  بر پاسخ تیر مطالعه شده است. در شکل (۷) تنها بعضی ابتدایی حرکت شامل ورود بار پیوسته به تیر و رسیدن به انتهای آن مورد بررسی قرار گرفته است. با توجه به این شکل، بیشترین خیز متعلق به  $\alpha = 0.5$  است. این مقدار وابسته به مقادیر  $E_1$  و  $K$  بوده و بر اساس محاسبات، مقدار دقیق آن  $= 0.53$  است. از این رو در ورود بار به روی تیر این مقدار را می توان سرعت بحرانی در این نمونه در نظر گرفت. برای مقادیر  $\alpha \leq 0.5$  [حرکت شبیه استاتیکی] می توان انتظار داشت که ضریب تقویت سیستم در انتهای حرکت به سمت عدد ۱- میل کند زیرا در این حالت تیر زمان کافی برای پاسخ به تحريك را دارد. این پدیده برای  $\alpha = 0.1$  و  $\alpha = 0.25$  در شکل (۷) نشان داده شده است.

با توجه به شکل (۸) برای  $\alpha < 1$  هنگامی که بار به طور کامل بر روی تیر قرار گرفت پاسخ تیر به سرعت میرا شده و ضریب تقویت به مقدار ثابت ۱- میل پیدا می کند. البته این موضوع برای تمامی مقادیر  $\alpha$  صادق است ولی با افزایش  $\alpha$  مدت زمان میرا شدن نیز افزایش می یابد، شکل (۹) را بینید. همچنین برای مقادیر بسیار بزرگ  $\alpha$  تیر سرعت کافی برای پاسخ را ندارد. بنابر این می توان گفت افزایش سرعت باعث تأخیر در پاسخ تیر می شود.

هنگامی که  $E_1 \rightarrow 1$  ماده رفتار ارجاعی‌تری از خود نشان می‌دهد.

• برای  $\alpha > 2/5$  بیشینه خیز تیر تغییر چندانی نداشته و براساس پارامتر  $E_1$  به یک مقدار ثابت میل می‌کند.

### پیوست الف

برای بررسی خیز استاتیکی تیر تحت بار کامل فرض می‌شود، بارگذاری به آرامی صورت گرفته به طوری که در معادله (۱۷) از جمله‌ی اول، که نشان دهنده‌ی اثرات اینترسی می‌باشد صرف نظر می‌شود. از این رو:

$$\frac{I}{\rho A} \left( \frac{n\pi}{L} \right)^4 Q^E(a_n) \quad (\text{الف-۱})$$

$$= P^E \left[ \frac{2}{\rho AL} \int_0^L f(x,t) \sin\left(\frac{n\pi x}{L}\right) dx \right]$$

به طوری که  $f(x,t) = P_0 H(t)$ . با اعمال عملگر  $P^E$

$Q^E$  در معادله (الف-۱) این معادله به شکل زیر تبدیل می‌شود.

$$\begin{aligned} & 2(G_1 + G_2) \frac{I}{\rho A} \left( \frac{n\pi}{L} \right)^4 a_n + \frac{3G_1 G_2}{\eta} \frac{I}{\rho A} \left( \frac{n\pi}{L} \right)^4 a \\ & = \frac{2P_0}{\rho A \Omega_1 n \pi} \left[ \frac{G_1}{\eta} - \frac{G_2}{\eta} \cos(n\pi) \right] \end{aligned} \quad (\text{الف-۲})$$

با فرض اینکه خیز تیر در لحظه‌ی اولیه معادل صفر است

در نتیجه  $a(0) = 0$ . حل معادله (الف-۲) عبارت است از:

$$a_n(t) = \frac{2}{3} \frac{P_0 L^4 ((-1)^n - 1)(1 - e^{-\frac{\eta G_2 t}{n^5 \pi^5 I G_2}})}{n^5 \pi^5 I G_2} H(t) \quad (\text{الف-۳})$$

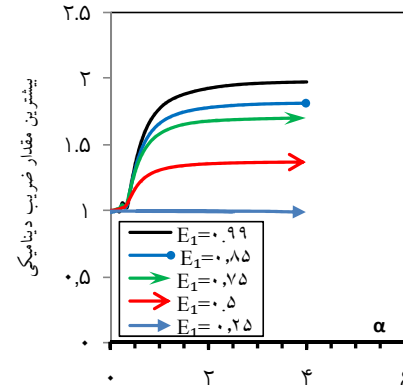
که در معادله فوق  $G_1 + G_2 = G_0$ . از این رو خیز استاتیکی تیر در هر لحظه و هر نقطه از تیر عبارت است از:

$$\begin{aligned} y(x,t) &= \sum_{n=1}^{\infty} \frac{2}{3} \frac{P_0 L^4 ((-1)^n - 1)(1 - e^{-\frac{\eta G_2 t}{n^5 \pi^5 I G_2}})}{n^5 \pi^5 I G_2} \\ &\quad H(t) \cdot \sin\left(\frac{n\pi x}{L}\right) \end{aligned} \quad (\text{الف-۴})$$

با توجه به معادله (الف-۴) مقدار خیز وسط تیر در زمان بی‌نهایت برای  $n = 1$  عبارت است از:

### ۵- بررسی بیشینه پاسخ

یکی از مسائل مهم در تحلیل بار متغیر ک مقدار بیشینه خیز است. برای تحلیل این مسئله، بیشینه ضریب تقویت سیستم بر حسب پارامتر سرعت بی بعد  $\alpha$  در شکل (۱۰) آورده شده است. بر اساس این شکل برای  $\alpha > 2/5$  بیشینه خیز تیر تغییر چندانی نکرده و براساس پارامتر  $E_1$  به یک مقدار ثابت می‌کند. همچنین می‌توان گفت برای  $E_1 \leq 0.25$  رفتار تغییرات بیشینه خیز نسبت به افزایش سرعت تغییر چندانی نداشته و نزدیک به مقدار یک است. برای  $E_1 = 0.99$  این مقدار ثابت به سمت عدد ۲ می‌کند در نتیجه با توجه به شکل (۱۰) می‌توان گفت ضریب تقویت در  $K = 1$  مقداری بین ۱ و ۲ است.



شکل (۱۰) نمودار تغییر بیشینه ضریب تقویت سیستم بر حسب پارامتر  $\alpha$ .

### ۶- نتایج

در این تحقیق با تعریف چند پارامتر بی بعد، تأثیر خواص ماده ویسکوالاستیک بر شیوه و سرعت بار بر رفتار یک تیر ساده (برنولی) به صورت تحلیلی بررسی شد. از جمله نتایج این تحقیق عبارت است از:

- بیشترین میرایی سیستم در حالت  $K = 1$  است.
- با قرار گرفتن بار بر روی تیر ضریب تقویت حول مقدار ۱- بوده و بعد از مدت زمان مشخصی به همین مقدار میرا می‌شود.
- بعد از خروج بار از روی تیر نوسانات به مقدار صفر میرا می‌شوند.
- زمانی که  $E_1 \rightarrow 0$  خیز پیوسته افزایش پیدا می‌کند تا به مقدار خیز استاتیکی پایدار خود برسد. همچنین

از معادله (ب-۱) می‌توان نتیجه گرفت که مدول رهایش برشی عبارت است از:

$$G(t) = G_2 + G_1 e^{(-t/\tau')} \quad (\text{ب-}2)$$

به عنوان یک نتیجه از معادله (ب-۲):

$$\lim_{t \rightarrow 0} G(t) = G_2 + G_1 \quad \text{و} \quad \lim_{t \rightarrow \infty} G(t) = G_2 \quad (\text{ب-}3)$$

پس می‌توان نتیجه گرفت که:

$$E_1 = \frac{\lim_{t \rightarrow \infty} G(t)}{\lim_{t \rightarrow 0} G(t)} = \frac{G_2}{G_2 + G_1} \quad (\text{ب-}4)$$

$$y_0 = \frac{4 P_0 L^4}{3 \pi^5 I G_2} \quad (\text{الف-}5)$$

همچنین با توجه به رابطه (۲۱)، معادله (الف-۵) به شکل زیر قابل بازنویسی است.

$$y_0 = \frac{4 P_0}{\rho A \pi \Omega_1^2 E_1} \quad (\text{الف-}6)$$

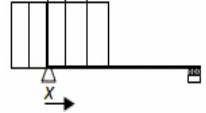
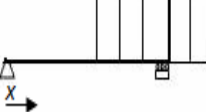
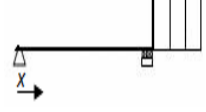
### پیوست ب

پاسخ مدل مورد نظر در شکل (۱) با توجه به معادله (۱۸) به کرنش پله‌ای  $\varepsilon(t) = \varepsilon_0 H(t)$  عبارت است از:

$$\sigma(t) = \varepsilon_0 [G_2 + G_1 e^{(-t/\tau')}] \quad (\text{ب-}1)$$

### پیوست ب

جدول (پ-۱) انواع مختلف بارگذاری پیوسته بر روی تیر.

طرف راست معادله (۲۰)	$f(x,t)$	شرایط اولیه	شكل بار	حالت بار بر روی تیر
$\frac{4 P_0}{\rho A n \pi} \left[ \frac{G_1}{\eta} - \frac{G_1}{\eta} \cos(n \omega t) + n \omega \sin(n \omega t) \right]$	$P_0 H[Vt - x]$	$a(t) _{t=0} = 0$ $\frac{da(t)}{dt} _{t=0} = 0$ $\frac{d^2 a(t)}{dt^2} _{t=0} = 0$		در حال ورود
$\frac{4 P_0}{\rho A n \pi} \left[ \frac{G_1}{\eta} - \frac{G_1}{\eta} \cos(n \pi) \right]$	$P_0$	$a(t) _{t=L/V} = b(t) _{t=L/V}$ $\frac{da(t)}{dt} _{t=L/V} = \frac{db(t)}{dt} _{t=L/V}$ $\frac{d^2 a(t)}{dt^2} _{t=L/V} = \frac{d^2 b(t)}{dt^2} _{t=L/V}$		پایداری
$\frac{4 P_0}{\rho A n \pi} \left[ -(-1)^n \frac{G_1}{\eta} + \frac{G_1}{\eta} \cos(n \omega t) - n \omega \sin(n \omega t) \right]$	$P_0 H[x - Vt]$	$b(t) _{t=T} = c(t) _{t=T}$ $\frac{db(t)}{dt} _{t=T} = \frac{dc(t)}{dt} _{t=T}$ $\frac{d^2 b(t)}{dt^2} _{t=T} = \frac{d^2 c(t)}{dt^2} _{t=T}$		در حال خروج
◦	◦	$c(t) _{t=T+L/V} = d(t) _{t=T+L/V}$ $\frac{dc(t)}{dt} _{t=T+L/V} = \frac{dd(t)}{dt} _{t=T+L/V}$ $\frac{d^2 c(t)}{dt^2} _{t=T+L/V} = \frac{d^2 d(t)}{dt^2} _{t=T+L/V}$		ارتعاش آزاد

در جدول فوق  $a$ ,  $b$ ,  $c$  و  $d$  مختصات مودال برای بارگذاری مربوطه می‌باشد و  $\omega = \frac{\pi V}{L}$  فرکانس دایروی تحریک بوده و  $T$  زمان قرار گرفتن بار در حالت پایدار می‌باشد.

- [3] HUANG C. C., Moving loads on viscoelastic cylindrical shells, *Journal of Sound and Vibration*, 60(3), 1978, pp. 351-358.
- [4] Fung R.F., Hang J. and Echen W., Dynamic stability of a viscoelastic beam subjected to harmonic and parametric excitations simultaneously, *Journal of Sound and Vibration*, 198, 1996, pp. 1-16.
- [۵] Karnaughov V. G., Kirichok I. F., Vibrations and dissipative heating of a viscoelastic beam under a moving load , *Journal of Sound and Vibration* ,41(1), 2005, pp. 49 – 55.
- [۶] Kocatürk T., Şimşek M., Vibration of viscoelastic beams subjected to an eccentric compressive force and a concentrated moving harmonic force, *Journal of Sound and Vibration*, 291, 2006, pp. 302–322,
- [۷] Kocatürk T., Şimşek M., Dynamic analysis of eccentrically prestressed viscoelastic Timoshenko beams under a moving harmonic load , *Computers and Structures* , 84, 2006, pp. 2113–2127.
- [۸] Şimşek M., Kocatürk T., Nonlinear dynamic analysis of an eccentrically prestressed damped beam under a concentrated moving harmonic load, *Journal of Sound and Vibration*, 320, 2009, pp. 235–253.
- [۹] Mofid M., Tehranchi A., Ostadhossein A., On the viscoelastic beam subjected to moving mass, *Advances in Engineering Software*, 41, 2010, pp. 240-243.
- [۱۰] Fryba L., Vibration of solids and structures under moving loads., The Netherlands Noordhoff International, 1972.
- [۱۱] Riande E., Calleja R.D., Prolongo M.G., Masegosa R.M., Salom C., Polymer viscoelasticity stress and strain in practice, Marcel Dekker INC, 2000.

## فهرست علائم

$A$	سطح مقطع
$E(D)$	مدول لاستیسیته
$f(x,t)$	نیرو بر واحد طول
$G_0$	مدول برشی اولیه
$G_1$ و $G_2$	مدول برشی
$H(x)$	تابع پله واحد
$I$	گشتاور دوم سطح مقطع
$L$	طول تیر
$M$	گشتاور خمی
$P,Q$	عملگرهای دیفرانسیلی
$P_0$	بار بر واحد طول
$V$	سرعت بار
$w$	خیز تیر
$y$	فاصله از مرکز سطح
$y_0$	خیز استاتیکی وسط تیر
$\rho$	چگالی
$\gamma, \sigma$	تنش و کرنش
$v(D)$	ضریب پواسون
$\gamma_0$	کرنش در مرکز سطح تیر
$\kappa$	انحنای تیر
$\eta$	ضریب ویسکوزیته
$\Omega_1$	فرکانس طبیعی
$\varepsilon(t)$	کرنش پله ای
$\alpha$	شاخص سرعت
$\tau$	زمان بی بعد
$\tau'$	زمان رهایش

## مراجع

- [1] HUANG C. C., Forced motions of viscoelastic cylindrical, *Journal of Sound and Vibration*, 39(3), 1975, pp. 273-286.
- [2] HUANG C. C., Forced motions of viscoelastic thick cylindrical shell, *Journal of Sound and Vibration*, 45(4), 1976, pp. 529-537.